

# Zaznavanje dolitosti dolgih brizganih izdelkov s strojnim vidom

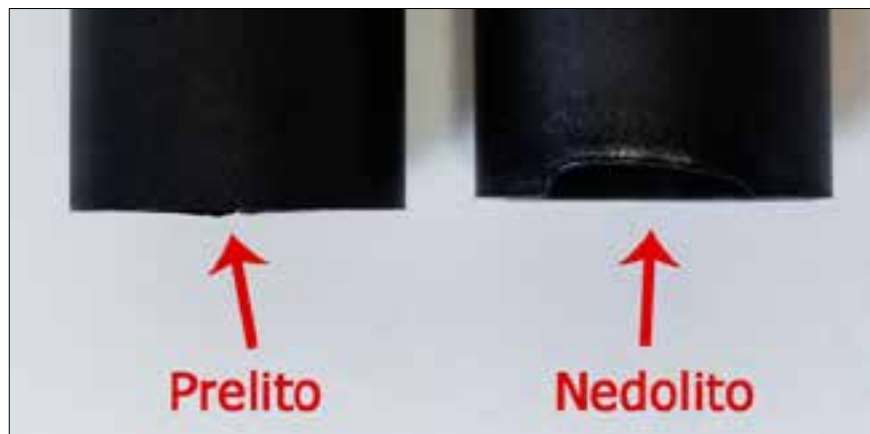
Miha PIPAN, Niko HERAKOVIČ

**Izvleček:** V članku je predstavljena učinkovita aplikacija nadzorovanja kakovosti sestavnih delov na izhodu stroja za brizganje plastike v dejanskem proizvodnem procesu. Prepoznavanje je izvedeno s strojnim vidom. Proses brizganja dolgih tulcev iz umetne mase je zaradi hitrega tečenja materiala v brizgalnem stroju nestabilen. Zaradi tega so potrebni 100-odstotna kontrola, analiza kakovosti izdelka in sortiranje izdelkov na dobre, nedolite in prelite.

**Ključne besede:** strojni vid, zaznavanje napak, brizganje dolgih izdelkov, nedolitost, prelitost

## ■ 1 Uvod

Napake na brizganih tulcih so lahko nedolitje ali prelitje plastične mase (*slika 1*). Število napak pri brizganju dolgih tulcev je veliko, saj je zaradi dolge poti tečenja materiala proces nestabilen in je izmet lahko tudi nekaj odstotkov. Nedoliti tulci vedno predstavljajo izmet, prelite izdelke pa je mogoče z dodatno obdelavo (odrezovanje prelitega dela) popraviti in so označeni kot dober izdelek. Dober izdelek se od nedolitega brez težav loči s prostim očesom. Kontrola prelitja in določitev, ali je prelitje v tolerančnem območju, pa sta s prostim očesom nemogoči. Zaradi 100-odstotne kontrole, izločitve človeške napake in določitve, ali je prelitje v tolerančnem območju, je nujna uporaba strojnega vida [1] [2].



Slika 1. Napake na brizganih tulcih

Značilnosti naprave:

- napake zaznavajo štiri kamere Basler in krmilnik Beckhoff CX (procesor i7),
- LED-osvetlitev,
- programska oprema, razvita v

laboratoriju LASIM,  
• spremenjanje tolerance dobrih/  
slabih kosov,  
• avtomatično prilagajanje na raz-  
lične premere in dolžine tulcev,  
• priključek za sinhronizacijo z

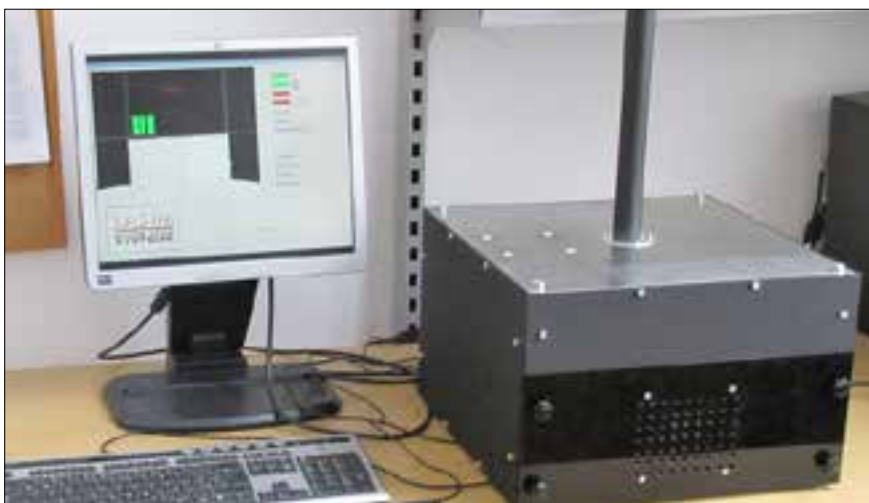
## ■ 2 Naprava za avtomatično zaznavanje napak

Napravo za avtomatično zaznavanje napake nedolitosti in prelitosti dolgih tulcev sestavljajo štiri kamere in ustrezna programska oprema za obdelavo slik (*slika 2*).



Slika 2. Kamere in osvetlitev

Miha Pipan, univ. dipl. inž.,  
prof. dr. Niko Herakovič, univ.  
dipl. inž., oba Univerza v Ljubl-  
jani, Fakulteta za strojništvo



**Slika 3.** Testiranje naprave za zaznavanje napak dolitosti/nedolitosti na brižganih tulcih

robotsko roko,

- resolucija zaznave napak 0,06 mm.

Naprava je sestavljena iz ohišja (*slika 3*), v katerem so štiri kamere, osvetlitev, napajanje in po višini ročno nastavljiva pozicionirna mizica. Nanjo je navpično pritrjen ko-vinski čep bele barve, na katerega se pozicionira tulec iz črne umetne mase, ki ga merimo.

### ■ 3 Napake, ki jih zaznava kontrolna naprava

Na *sliki 4* je prikazan grafični vmesnik, na katerem je viden prelit rob tulca, ki je bil v celoti razvit v programskem jeziku C++ z uporabo knjižnice OpenCV [3]. Grafični vmesnik omogoča spremeljanje delovanja naprave in spremištanje tolerančnega praga zaznavanja napak.

Posamezne tulce odlaga v napravo robotska roka, zato naprava omogoča komunikacijo z robotom za manipulacijo tulcev in po 24 V vhodno-izhodnega modula sporoči rezultat opravljenih meritve. Glede na to, ali je tulec prelit, nedolit ali ustrezni, robot odstrani tulec z naprave in ga odloži na ustrezeno mesto.

Kalibracijo po višini izvedemo tako, da tulec ustrezne dolžine in brez napak vstavimo na čep. Nato ročno nastavimo pozicionirno mizico po višini, tako da je rob tulca na sredi-

ni slike kamere. Z gumbom »Zajemi slike« zajamemo slike s kamер. Ko je vodoravni rob tulca na sredini kamere, pritisnemo gumb »Shrani parametre«. Takrat se analizirajo slike iz vsake od štirih kamер in se avtomatično zabeleži lega vodoravnega roba tulca za vsako sliko posebej. Rob tulca se zazna z algoritmom za zaznavo robov po metodi *Canny*, s katero se analizira sivinska slika.

Sestavljen je iz naslednjih petih sklopov [4]:

- Uporaba Gaussovega filtra (osnova Gaussovega jedra za velikost  $(2k+1) \times (2k+1)$  – enačba

(1)). Filter se uporabi za odstranitev šuma. Z njim se majhna odstopanja med sosednjimi pikslji pogladijo, s čimer dobimo sliko z jasnimi robovi.  $H_{ij}$  – nova izračunana vrednost piksla s koordinatami  $i$  in  $j$ ,  $\sigma$  – intenziteta filtra,  $k$  – število upoštevanih sosednjih piksov.

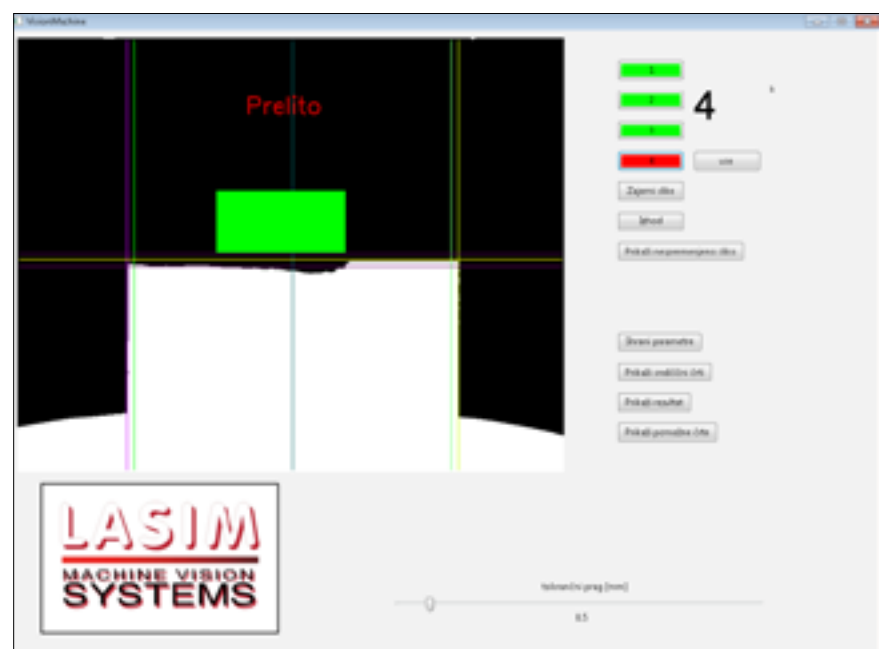
$$H_{ij} = \frac{1}{2\pi\sigma^2} \exp \left( \frac{(i-k-1)^2 + (j-k-1)^2}{2\sigma^2} \right) \quad (1)$$

- Najdi gradient intenzivnosti – enačba (2), s čimer poiščemo gradient vertikalnih, horizontalnih in diagonalnih robov. V našem primeru se filter nastavi tako, da se iščejo le horizontalni in vertikalni robovi ( $\Theta = 359^\circ - 1^\circ$  in ( $\Theta = 89^\circ - 91^\circ$ ).  $\mathbf{G}$  – gradient intenzivnosti,  $\mathbf{G}_x$  – gradient v smeri  $x$ ,  $\mathbf{G}_y$  – gradient v smeri  $y$ ,  $\Theta$  – kot roba.

$$\mathbf{G} = \sqrt{\mathbf{G}_x^2 + \mathbf{G}_y^2} \quad (2)$$

$$\Theta = \text{atan2}(\mathbf{G}_x^2, \mathbf{G}_y^2) \quad (3)$$

- Uporabi zaježitev območij, ki ne vsebujejo maksimumov. S tem korakom stanjšamo robe, saj so po izračunu gradientov robe še vedno megljeni. Tako filter vse gradiante izniči, razen



**Slika 4.** Primer prelitega roba tulca, prikaz slike prve kamere

lokalnih maksimumov.

- Uporabi dvojno upragovanje za iskanje potencialnih robov, s čimer dobimo binarno sliko in jasne robe brez zameglitve.
- Robovom sledimo po histerezi, odstranijo se vsi šibki robovi. Vsi močni robovi so avtomatično označeni, vendar s sledenjem po histerezi lahko potrdimo ali ovržemo prisotnost šibkih robov.
- Najdi dva najmočnejša vertikalna in en horizontalni rob.

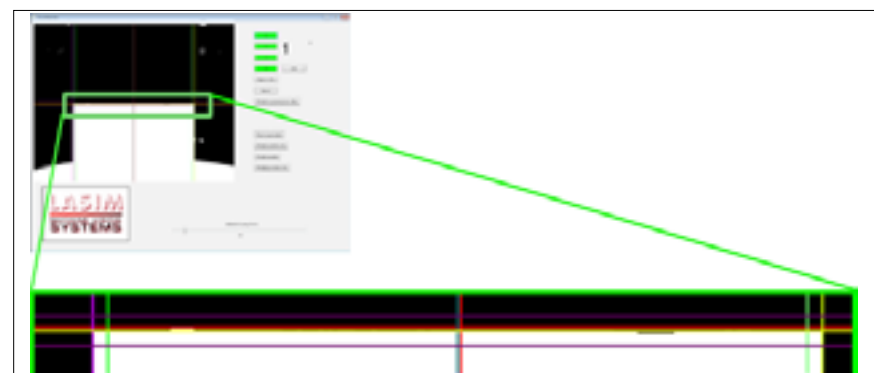
Nato se pozicionirajo premice na zaznan horizontalni in vertikalni rob. Glede na horizontalno premico se določi center in meje tolerančnega polja (slika 5). Tako odpravimo napake zaradi toleranc pri nameščanju kamere pri gradnji naprave. Odpre se okno, kamor vpisemo geslo »kamera« in pritisnemo »ENTER«. Nazadnje zategnemo vijak a in zapremo sprednjo ploščo.

Algoritem za zaznavo prelitosti in nedolitosti deluje na principu štetja piksov, ki so nad spodnjem ali nad zgornjim tolerančnim mejo ( $N_{pr} < 0$  in  $N_{nd} > 0$ , kjer je  $N_{pr}$  – število piksov pod spodnjim mejo in  $N_{nd}$  število piksov nad zgornjim tolerančnim mejo). Če je nad tolerančno mejo zaznan vsaj 1 piksel, je zaznana napaka. Tolerančna meja se določi v mm z resolucijo 0,1 mm. Način preračuna piksov izven meja tolerančnega polja za prelitje je prikazan v enačbi (4) in za nedolite v enačbi (5) [4].

$$N_{pr} = \sum_{x=lr}^{dr} \left( \sum_{y=sm}^{sm+n} P_{x,y} < 1 \right) \quad (4)$$

$$N_{nd} = \sum_{x=lr}^{dr} \left( \sum_{y=zm}^{zm+n} P_{x,y} = 1 \right) \quad (5)$$

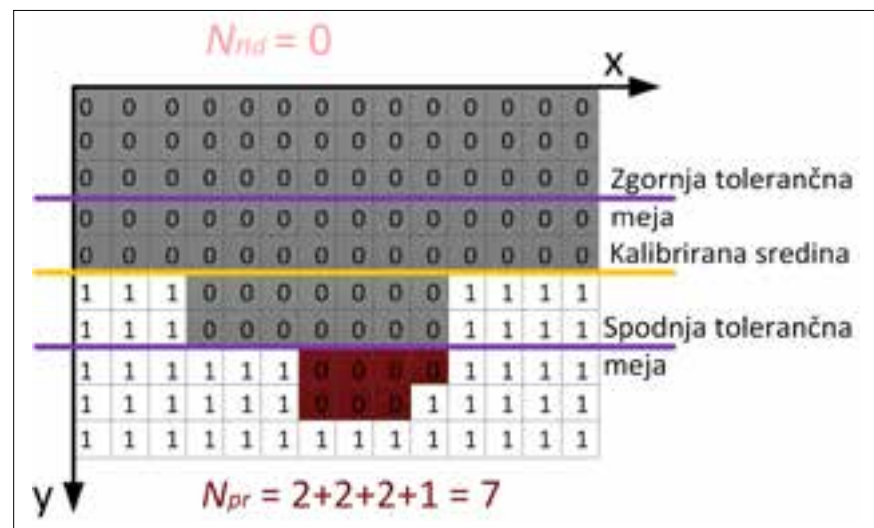
$x$  in  $y$  predstavljata koordinate piksla  $P$ ,  $P$  – vrednost piksla  $P$ ,  $lr$  – x koordinata zaznanega levega roba tulca,  $dr$  – x koordinata desnega roba tulca,  $n$  – višina polja za zaznavo napake (uporabili smo  $n = 200 \text{ px}$ ),  $sm$  – spodnja meja tolerančnega polja v koordinati  $y$  in  $zm$  – zgornja meja tolerančnega polja v koordinati  $y$ .



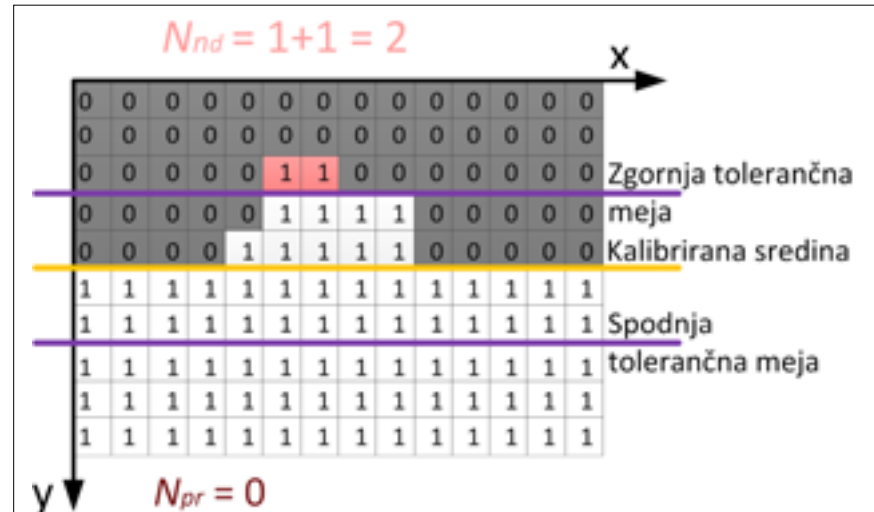
Slika 5. Kalibracija po višini

Shematski prikaz zaznavanja nedolitosti in prelitosti je prikazan na slikah 6 in 7. Ker analiziramo binarno sliko, je na mestu, kjer se nahaja material zabrizganega tulca, vrednost piksla enaka 0 – črn piksel. Kjer pa tulca ni, je vrednost piksla

enaka 1, torej je piksel bele barve. Na ta način lahko seštevamo vrednosti piksov, ki so zunaj tolerančnega polja. Za vsak stolpec piksov se izračuna, koliko piksov je šlo čez mejo. Če je kos tako prelit kot tudi nedolit, se sporočita obe napaki.



Slika 6. Zaznano prelitje roba izdelka s skupnim seštevkom 7 piksov



Slika 7. Zaznana nedolitost roba izdelka s skupnim seštevkom 2 piksla

## ■ 4 Komunikacija z robotsko roko

Naprava omogoča komunikacijo z robotom, ki lahko vstavlja tulce iz umetne mase v napravo, da se izmerijo, po končani meritvi pa jih odstrani na ustrezeno mesto glede na to, ali je predmet ustrezen ali ne. Naprava robotu signalizira, kdaj je meritev končana (signal A = 1), ali je rob predmeta ustrezen (B = 0, C = 0), prelit (B = 1) ali nedolit (C = 1). Robot mora najprej poslati signal (R1), da naprava preveri, če je pripravljena, da se lahko vanjo vstavi tulec, potem pa pošlje signal, da je pripravljena (D = 1). Robot nato vstavi tulec v napravo. Naprava čaka na signal robota (R2), kdaj naj se začne meritev. Ta signal mora robot poslati, ko je tulec vstavljen v napravo. Blokovna shema programa naprave in komunikacijskih signalov je prikazana na sliki 8.

Na sliki 9 je prikazan električni priključek naprave za digitalne signale. Priključek je tipa DE-9 M. Uporablja se napetost 24 V. Pomen digitalnih signalov je opisan na blokovni shemi algoritma na sliki 8. Za povezavo z robotom potrebujemo kabel s priključkom DE-9 Ž na eni strani, na drugi strani pa ustrezen kabel za priklop na krmilnik robota.

## ■ 5 Zaključek

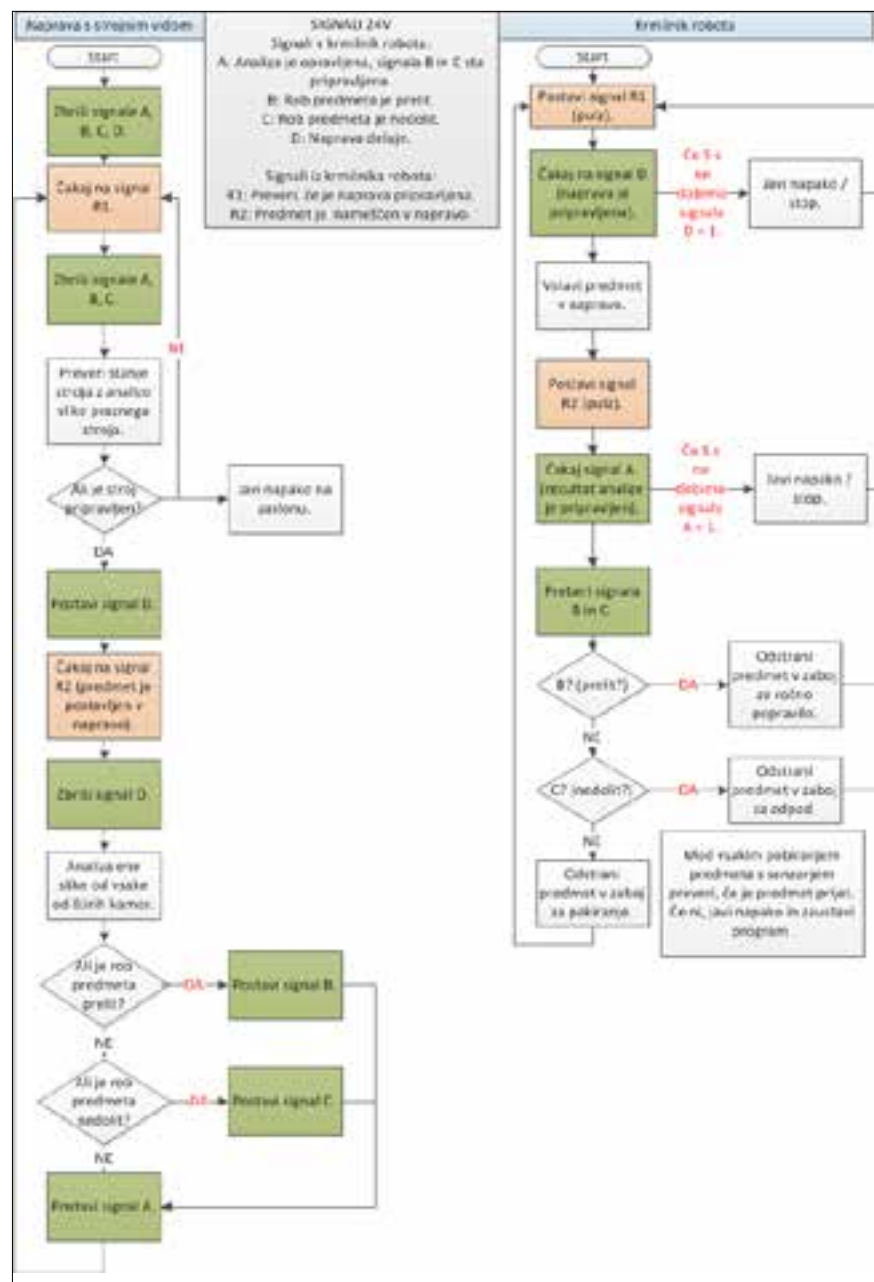
Raziskava in naprava za preverjanje kakovosti izdelkov s strojnimi vidom sta bili narejeni v laboratoriju LASIM za podjetje Polycom, d. o. o.

Napravo smo uspešno preizkusili s testno serijo tulcev, ki smo jih ročno vstavljal. Algoritem za zaznavanje napak je razvit z uporabo zaznave robov po tehniki Canny in nato dolovi robove in tolerance. Z analizo pikslov izven meja tolerančnega območja nato izračunamo, ali je izdelek prelit ali nedolit.

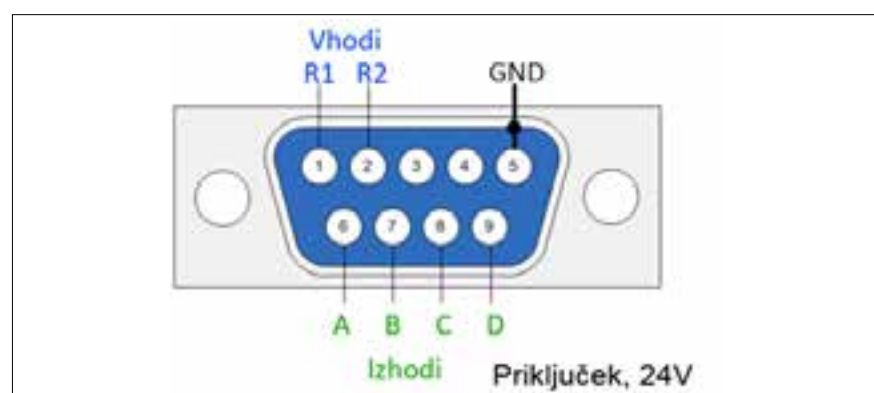
Temu je sledila umestitev naprave v proizvodno linijo. Testno obdobje naprave je bilo en mesec v dveh izmenah. Naprava je ves čas delovala brez napak in pravilno ločila vse tulce glede na zaznano napako.

Z implementacijo inovativnih pristopov in uporabo pametnih algoritmov za prilagajanje različnim vrstam

izdelkov ter zaznavanje napak dosežemo 100-odstotno kontrolo brez vpliva na proizvodne čase in takte.



Slika 8. Blokovna shema programa in komunikacijskih signalov



Slika 9. Priključek naprave, 24 V signali

## Viri

- [1] R. Davies, Computer and Machine Vision, 4th Edition Theory, Algorithms, Practicalities Opsylum. 2012.
- [2] S. Nashat, a. Abdullah, and M. Z. Abdullah, "Machine vision for crack inspection of biscuits featuring pyramid detection scheme," *J. Food Eng.*, vol. 120, no. 1, pp. 233–247, 2014.
- [3] The OpenCV Reference Manual. OpenCV Community. 2010.
- [4] R. C. González, R. E. Woods, and S. L. Eddins, Digital image processing using MATLAB. 2004.

## Detection over moulding/short shot of long moulded products with machine vision

**Abstract:** This paper presents a developed application for effective quality control of injection-moulded parts in the actual production process, where the identification is performed with machine vision. Achieving maximum length of injection moulded plastic tubes makes the injection moulding process unstable. Therefore, 100 % product quality control and sorting of good, short shot and over moulded parts is needed.

**Keywords:** machine vision, errors detections, injection moulding, long products, short shot, over moulding

Upoštevanje človeka  
je prvo pravilo robotike.



## Man and Machine

[www.staubli.si](http://www.staubli.si)

### Kaj če robot in človek (resnično) delata skupaj?

Poleg zagotavljanja učinkovitosti morajo biti roboti predvsem človekov partner. Roboti niso namenjeni zamenjavi človeka pač pa človeku v podporo preko enostavnega in učinkovitega sodelovanja. Stäubli roboti delujejo hitro, natančno in varno. A v prvi vrsti v sodelovanju s človekom!

Kontakt: Brane Čenčič, Tel.: 00386 41 747 536, brane.cencic@domel.com

**DOMEL®**  
Ustvarjamo gibanje

**STÄUBLI**